



AB 1294



**LABORATORIUM ANTEO Sp. z o.o.**

ul. Chryzantem 23  
41-700 Ruda Śląska  
e-mail: laboratorium@anteo.pl

## SPRAWOZDANIE Z BADAŃ PÓL ELEKTROMAGNETYCZNYCH W OTOCZENIU STACJI BAZOWEJ TELEFONII KOMÓRKOWEJ SIECI P4 DLA POTRZEB OCHRONY LUDZI I ŚRODOWISKA

Nr stacji	Miejsce wykonania pomiarów:	Data wykonania pomiarów:	Data wydania sprawozdania:
<b>MIE3802A</b>	<b>Mielec, ul. Solskiego 1</b>	<b>2024-01-19</b>	<b>2024-01-23</b>
Zleceniodawca:	<b>P4 Sp. z o.o. ul. Wynalazek 1, 02-677 Warszawa</b>		
Nr ewidencyjny sprawozdania:	<b>SP_2024-01-001-6-S_MIE3802A</b>		
Sprawozdanie wykonała:	Sprawdził:	Autoryzował/Data:	
Specjalista ds. pomiarów PEM	Kierownik laboratorium	Kierownik laboratorium	

## 1. Wstęp

Badania wykonano na podstawie umowy z dnia 2018-08-31 pomiędzy firmą **Laboratorium Anteo sp. z o.o., ul. Chryzantem 23/1, 41-700 Ruda Śląska**, a firmą **P4 Sp. z o.o., ul. Wynalazek 1, 02-677 Warszawa**, przekazanej do realizacji laboratorium Anteo.

Sprawozdanie przedstawia wyniki sprawdzenia dotrzymania dopuszczalnych poziomów pól elektromagnetycznych w środowisku w otoczeniu instalacji - stacji bazowej **MIE3802A** będącej obiektem radiokomunikacyjnym P4 Sp. z o.o., w miejscach dostępnych dla ludności w otoczeniu ww. instalacji.

Wyniki pomiarów odnoszą się wyłącznie do istniejącej konfiguracji instalacji antenowej. Każda zmiana konfiguracji o ile zmiana ta może mieć wpływ na zmiany poziomów pól elektromagnetycznych wiąże się z koniecznością wykonania nowego badania

Laboratorium badawcze akredytowane przez PCA, Nr AB1294. Data ważności akredytacji: do 2027-10-27. Zakres wykonywanych przez laboratorium badań podany jest pod adresem [www.pca.gov.pl](http://www.pca.gov.pl).

Akredytacja Laboratorium w odniesieniu do normy ISO\IEC 17025:2018-02 oznacza spełnienie wymagań dotyczących kompetencji technicznych i systemu zarządzania, koniecznych dla zapewnienia wiarygodnych technicznie wyników badań.

## 2. Metoda badań

- Załącznik do rozporządzenia Ministra Klimatu z dnia 17 lutego 2020 r. *Sposoby sprawdzania dotrzymywania dopuszczalnych poziomów pól elektromagnetycznych w środowisku (Dz. U. 2022, poz. 2630)*.

## 3. Akty prawne

- Obwieszczenie Ministra Klimatu i Środowiska z dnia 21 listopada 2022 r. *w sprawie ogłoszenia jednolitego tekstu rozporządzenia Ministra Klimatu w sprawie sposobów sprawdzania dotrzymywania dopuszczalnych poziomów pól elektromagnetycznych w środowisku (Dz. U. 2022, poz. 2630)*.
- Rozporządzenie Ministra Zdrowia z dnia 17 grudnia 2019 r. *w sprawie dopuszczalnych poziomów pól elektromagnetycznych w środowisku (Dz. U. 2019, poz. 2448)*.

## 4. Odstępstwa/ograniczenia i uwarunkowania metody badawczej

Brak odstępstw/ograniczeń metody badawczej.

## 5. Lokalizacja obiektu badań

Badany obiekt znajduje się w miejscowości Mielec, Solskiego 1.  
Współrzędne geograficzne obiektu: 21°26'13.41"E, 50°17'54.02"N.

## 6. Opis badania

Badany obiekt jest obiektem radiokomunikacyjnym sieci komórkowej (radiowa stacja bazowa telefonii mobilnej w sieci o przeznaczeniu publicznym). Anteny zainstalowano na pylonie oświetleniowym. Na obiekcie zainstalowano urządzenia pracujące w pasmach częstotliwości 2600MHz, 2100MHz, 1800MHz, 900MHz, 800MHz oraz radiolinii 80GHz, 23GHz. Pomiarów pól elektromagnetycznych zostały wykonane w szczególności w tych miejscach, w których na podstawie przeprowadzonych obliczeń, stwierdzono występowanie w danych zakresach częstotliwości pól elektromagnetycznych o poziomach zbliżonych do dopuszczalnych. Na kierunku zbliżonym do azymutu anten pomiarów wykonano do obliczonej odległości występowania pól elektromagnetycznych o najwyższym poziomie w miejscach dostępnych dla ludności, pochodzących z badanej instalacji. Pomiarów wykonano w odległości nie mniejszej niż 0,3 m od urządzeń, obiektów i elementów metalowych.

Wszelkie dane dotyczące źródeł promieniowania (min. wysokość anten, częstotliwość pracy) oraz współrzędne geograficzne obiektu pochodzą od zleceniodawcy.

Badanie zostało przeprowadzone w godz. od 10:40 do 12:10 przez:

– Specjalista ds. pomiarów PEM

## 7. Warunki atmosferyczne

Temperatura powietrza	Przed: 1,0° C	Po: 1,0° C
Wilgotność powietrza	Przed: 71,4%	Po: 71,4%

Brak opadów atmosferycznych w czasie przeprowadzania badania.

Pomiary zostały wykonane przy temperaturze i wilgotności względnej nie wyższej niż dopuszczalna specyfikacja miernika.

## 8. Parametry techniczne obiektu badań

Parametry techniczne przekazane przez zleceniodawcę.

Tabela nr 1 – Parametry systemu nadawczo – odbiorczego pracującego w paśmie 2600MHz, 2100MHz, 1800MHz, 900MHz, 800MHz

Tabela nr 2 – Parametry linii radioliniowej

**Parametry systemu nadawczo odbiorczego pracującego w paśmie – 2600MHz, 2100MHz, 1800MHz, 900MHz, 800MHz – tabela 1**

Charakterystyka promieniowania				kierunkowa					
Rzeczywisty czas pracy [h/dobę]				Całodobowa 24h					
Warunki pracy				Znamionowe					
Rodzaj wytwarzanego pola				stacjonarne					
Lp.	Typ nadajnika	Antena Producent / Typ	Azymut [°]	Wysokość środką elektr. anteny [m n.p.t.]	Pasmo [Mhz]	Kąt nachylenia [°]	EIRP dla anteny [W]	LON	LAT
1	RBS6xxx/2xxx/4xxx	Huawei ADU4518R6	0	30,5	2600	0 - 4	9662	21°26'13.41"E	50°17'54.02"N
2	RBS6xxx/2xxx/4xxx	Huawei AMB4519R0	30	30,2	800	0 - 5	3013	21°26'13.41"E	50°17'54.02"N
	900				0 - 5	21°26'13.41"E		50°17'54.02"N	
	RBS6xxx/2xxx/4xxx		330	30,2	800	0 - 9	3013	21°26'13.41"E	50°17'54.02"N
	RBS6xxx/2xxx/4xxx				900	0 - 9		21°26'13.41"E	50°17'54.02"N
3	RBS6xxx/2xxx/4xxx	Huawei AMB4519R6	31	30,2	1800	2 - 2	17195	21°26'13.41"E	50°17'54.02"N
	RBS6xxx/2xxx/4xxx				2100	2 - 2		21°26'13.41"E	50°17'54.02"N
	RBS6xxx/2xxx/4xxx		329	30,2	1800	2 - 4	19453	21°26'13.41"E	50°17'54.02"N
	RBS6xxx/2xxx/4xxx				2100	2 - 4		21°26'13.41"E	50°17'54.02"N
4	RBS6xxx/2xxx/4xxx	Huawei AMB4519R6	89	30,2	1800	2 - 2	19453	21°26'13.41"E	50°17'54.02"N
	RBS6xxx/2xxx/4xxx				2100	2 - 2		21°26'13.41"E	50°17'54.02"N
	RBS6xxx/2xxx/4xxx		151	30,2	1800	2 - 5	19453	21°26'13.41"E	50°17'54.02"N
	RBS6xxx/2xxx/4xxx				2100	2 - 5		21°26'13.41"E	50°17'54.02"N
5	RBS6xxx/2xxx/4xxx	Huawei AMB4519R0	90	30,2	800	0 - 9	3013	21°26'13.41"E	50°17'54.02"N
	RBS6xxx/2xxx/4xxx				900	0 - 9		21°26'13.41"E	50°17'54.02"N
	RBS6xxx/2xxx/4xxx		150	30,2	800	0 - 10	3013	21°26'13.41"E	50°17'54.02"N
	RBS6xxx/2xxx/4xxx				900	0 - 10		21°26'13.41"E	50°17'54.02"N
6	RBS6xxx/2xxx/4xxx	Huawei ADU4518R6	120	30,5	2600	0 - 3	9662	21°26'13.41"E	50°17'54.02"N

7	RBS6xxx/2xxx/4xxx	Huawei AMB4519R6	209	30,2	1800	2 - 2	19453	21°26'13.41"E	50°17'54.02"N
	RBS6xxx/2xxx/4xxx				2100	2 - 2		21°26'13.41"E	50°17'54.02"N
	RBS6xxx/2xxx/4xxx		271	30,2	1800	2 - 2	19453	21°26'13.41"E	50°17'54.02"N
	RBS6xxx/2xxx/4xxx				2100	2 - 2		21°26'13.41"E	50°17'54.02"N
8	RBS6xxx/2xxx/4xxx	Huawei AMB4519R0	210	30,2	800	0 - 6	3013	21°26'13.41"E	50°17'54.02"N
	RBS6xxx/2xxx/4xxx				900	0 - 6		21°26'13.41"E	50°17'54.02"N
	RBS6xxx/2xxx/4xxx		270	30,2	800	0 - 7	3013	21°26'13.41"E	50°17'54.02"N
	RBS6xxx/2xxx/4xxx				900	0 - 7		21°26'13.41"E	50°17'54.02"N
9	RBS6xxx/2xxx/4xxx	Huawei ADU4518R6	240	30,5	2600	0 - 7	9662	21°26'13.41"E	50°17'54.02"N

### Parametry systemu nadawczo – odbiorczego linii radioliniowej – Tabela nr 2

Charakterystyka promieniowania				kierunkowa					
Rzeczywisty czas pracy [h/dobę]				24					
Rodzaj wytwarzanego pola				stacjonarne					
Linia radiowa				Antena					
L p.	Typ nadajnika	Częstotliwość pracy [GHz]	Moc wyjściowa [dBm]	Typ/producent	Średnica anteny [m]	Azymut [°]	Wysokość zainstal. [m]	LON	LAT
1	OPTIX RTN/HUAW EI	80	18	0.3-80(A80S03)	0,3	87	27,7	21°26'13.41"E	50°17'54.02"N
2	OPTIX RTN/HUAW EI	80/23	18/25	0.6-80/23(A23S80S06)	0,6	143	34,8	21°26'13.41"E	50°17'54.02"N
3	OPTIX RTN/HUAW EI	23	25	0.6-23(VHLPX2-23)	0,6	148	35	21°26'13.41"E	50°17'54.02"N
4	OPTIX RTN/HUAW EI	80	18	0.3-80(A80S03)	0,3	312	28,1	21°26'13.41"E	50°17'54.02"N

## 9. Sposób identyfikacji pola elektromagnetycznego

Niezbędnych informacji na temat źródeł pól udzielił Specjalista ds. Administracji Projektu P4 Sp. z o.o., który nie brał udziału w badaniach. Identyfikację źródeł i parametrów technicznych wykonano na podstawie analizy przekazanej ze zleceniem dokumentacji oraz obserwacji w miejscu wykonywania badań.

Z informacji zleciodawcy wynika, że podczas badania anteny użytkownika o sterowanych wiązkach zostały ustawione w sposób opisany zgodnie z punktem 13 ppkt.2 załącznika do rozporządzenia Ministra Klimatu z dnia 17 lutego 2020 r. (Dz. U. 2022 poz. 2630).

## 10. Opis terenu

Stacja bazowa telefonii komórkowej sieci P4 Sp. z o.o. MIE3802A zlokalizowana jest na pylonie oświetleniowym w miejscowości Mielec, Solskiego 1. Anteny sektorowe są zainstalowane na wysokości 30,2m oraz 30,5m n. p. t. Urządzenia nadawczo – odbiorcze znajdują się w szafach, które umieszczone są na gruncie. Bezpośrednim sąsiedztwem stacji są tereny użyteczności publicznej oraz zabudowa mieszkaniowa.

W badanym środowisku zidentyfikowano urządzenia innych operatorów mogące mieć wpływ na wyniki mierzonego pola EM. Pomiarzy zostały przeprowadzone jako szerokopasmowe w danym zakresie częstotliwości, w związku z tym uwzględniają grupy instalacji/urządzeń emitujących pola EM o poziomach najwyższych w danym zakresie częstotliwości.

## 11. Sprzęt pomiarowy

Tabela nr 3 – Sprzęt pomiarowy

Lp.	Nazwa i typ urządzenia	Numer identyfikacyjny
1.	Zestaw pomiarowy NARDA NBM-520 wraz z sondą EF9091*	2403/01B D-2211 2402/18B A-0148
2.	Zestaw pomiarowy NARDA NBM-520 wraz z sondą EF0691*	2403/01B D-2211 2402/14B H-1142
3.	Termohigrometr UNI-T UT333	C221221326
4.	Dalmierz laserowy GLM 250 VF	209147077

\*Zestaw pomiarowy przed wykonaniem pomiarów został sprawdzony za pomocą uniwersalnego testera sond UTEST-7

Tabela nr 4 – Szerokopasmowe mierniki pola elektromagnetycznego

Lp.	Nazwa i typ urządzenia	Zakres pomiarowy	Numer świadectwa wzorcowania	Data następnego wzorcowania
1.	Miernik Narda NBM-520	Zależny od sondy	LWiPM/W/404/23**	2025-11-08
2.	Sonda Narda EF9091	0,56 – 320V/m 80MHz – 90GHz	LWiPM/W/404/23**	2025-11-08
3.	Sonda Narda EF0691	0,58 – 540V/m 0,1MHz – 6GHz	LWiPM/W/404/23**	2025-11-08

\*\*LWiPM – Laboratorium Wzorców i Metrologii Pola Elektromagnetycznego, Instytut Telekomunikacji, Teleinformatyki i Akustyki, Politechnika Wroclawska

Tabela nr 5 – Sprzęt uzupełniający

Lp.	Nazwa i typ urządzenia	Zakres pomiarowy	Numer świadectwa wzorcowania	Data następnego sprawdzenia
1.	Termohigrometr UNI-T UT333	-20 ÷ +60°C 0 – 100%RH	466-1223/23***	2024-07-15
2.	Dalmierz laserowy Bosch GLM 250 VF	0,05 – 250m	215.1-M11-4180-116/13****	2024-06-21
3.	Urządzenie GPS GPSMAP 62ST	-	-	2024-03-08

\*\*\*Laboratorium Pomiarowe INTRON

\*\*\*\*Zakład Długości Kąta GUM

## 12. Wyniki badań

Tabela nr 6 – Wartości natężenia pola elektrycznego i magnetycznego

Nr pionu	Opis miejsca pomiaru	Zmierzona wartość natężenie pola <sup>2</sup> E [V/m]	Natężenie pola <sup>3</sup> E [V/m]	Natężenie pola <sup>4</sup> H [A/m]	Wysokość Pomiaru <sup>5</sup> [m]	Współrzędne geograficzne pionu	Wartości WME <sup>6</sup>	Wartości WMH <sup>6</sup>
1	Przy bloku, ul. Solskiego 10	2,6	3,1	0,008	2,00	50.29875 21.43755	0,11	0,11
2	GKP <sup>1</sup> 31°, balkon, ul. Solskiego 12/45	3,1	3,7	0,010	1,85	-	0,13	0,13
3	Przy bloku, ul. Solskiego 12	3,9	4,6	0,012	1,90	50.29904 21.43722	0,16	0,17
4	Przy bloku, ul. Solskiego 14	5,2	6,2	0,016	2,00	50.29928 21.43708	0,22	0,22
5	Balkon, ul. Solskiego 14/74	3,1	3,7	0,010	1,75	-	0,13	0,13
6	Przy bloku, ul. Solskiego 16	3,9	4,6	0,012	1,00	50.29961 21.43667	0,16	0,17
7	GKP 0°, teren zieleni	2,5	3,0	0,008	1,80	50.30096 21.43707	0,11	0,11
8	GKP 31°, chodnik, ul. Sucharskiego 20	*0,7	0,9	0,002	0,3-2,00	50.30051 21.43899	0,03	0,03
9	GKP 90°, przy budynku szkoły	*0,7	0,9	0,002	0,3-2,00	50.29823 21.44111	0,03	0,03

10	GKP 120°, przy budynku, ul. Łukasiewicza 1	*0,7	0,9	0,002	0,3-2,00	50.29709 21.44060	0,03	0,03
11	Skwer w parku	1,4	1,6	0,004	1,90	50.29594 21.43909	0,06	0,06
12	GKP 151°, chodnik, ul. Solskiego	2,8	3,3	0,009	1,80	50.29703 21.43842	0,12	0,12
13	Okno na klatce schodowej, IV piętro, ul. Solskiego 6	2,7	3,2	0,009	1,00	-	0,11	0,12
14	GKP 120°, przy bloku, ul. Grunwaldzka2	2,2	2,6	0,007	1,80	50.29749 21.43931	0,09	0,09
15	GKP 120°, przy budynku szkoły	2,7	3,2	0,009	1,60	50.29790 21.43808	0,11	0,12
16	GKP 90°, przy budynku szkoły	1,9	2,2	0,006	1,90	50.29841 21.43804	0,08	0,08
17	GKP 0°, trybuny na stadionie	3,1	3,7	0,010	1,80	50.29853 21.43725	0,13	0,13
18	GKP 329°, trybuny na stadionie	2,4	2,8	0,008	1,95	50.29884 21.43664	0,10	0,10
19	Teren zieleni	2,9	3,5	0,009	1,85	50.30059 21.43501	0,12	0,13
20	GKP 270°, przy bloku, ul. Kusocińskiego 17	1,4	1,6	0,004	1,70	50.29845 21.43310	0,06	0,06
21	Przy bloku, ul. Kusocińskiego 15	1,7	2,0	0,005	1,90	50.29844 21.43424	0,07	0,07
22	GKP 270°, trybuny na stadionie	3,9	4,6	0,012	2,00	50.29845 21.43497	0,16	0,17
23	GKP 240°, trybuny na stadionie	2,5	3,0	0,008	1,85	50.29781 21.43563	0,11	0,11
24	GKP 240°, przy bloku, ul. Kusocińskiego 11	1,7	2,0	0,005	1,20	50.29701 21.43341	0,07	0,07
25	Przy bloku, ul. Kusocińskiego 16	*0,7	0,9	0,002	0,3-2,00	50.29599 21.43497	0,03	0,03
26	GKP 209°, przy hali sportowej	2,6	3,1	0,008	1,85	50.29726 21.43609	0,11	0,11
27	Boisko sportowe	3,9	4,6	0,012	1,90	50.29807 21.43736	0,16	0,17
28	GKP 150°, boisko sportowe	2,6	3,1	0,008	1,00	50.29782 21.43743	0,11	0,11

\* wynik spoza zakresu akredytacji - przy wskazaniach sondy poniżej dolnego zakresu akredytacji dla punktu pomiarowego, przyjęto do obliczeń wyniku skorygowanego wartość skorelowaną z rzeczywistym wynikiem pomiaru tj. dolna granicę akredytowanego zakresu pomiarowego metody 0,7 V/m.

1 - GKP – Główny Kierunek Pomiarowy

2 – wynik pomiaru, z uwzględnieniem współczynników Cf (charakterystyka częstotliwościowa) i Cd (charakterystyka dynamiczna).

3 - wynik pomiaru natężenia skutecznego pola elektromagnetycznego powiększony o niepewności pomiaru. Wartość chwilowa, zgodnie z pkt. 11 załącznika do rozporządzenia Ministra Klimatu z dnia 17 lutego 2020 r. (Dz. U. 2022 poz. 2630).

4 - wartość wyznaczona na podstawie pomiaru wartości skutecznej natężenia pola elektrycznego, z uwzględnieniem niepewności pomiaru, dla pomiarów wykonanych od źródła pól elektromagnetycznych, z zależności opisanej w pkt.3 załącznika do rozporządzenia Ministra Klimatu z dnia 17 lutego 2020 r. (Dz. U. 2022 poz.2630).

5- wysokość liczona jest od poziomu podłoża, gruntu

6 - wartości wskaźnikowe zgodnie z pkt.25 ppkt.1 załącznika do rozporządzenia Ministra Klimatu z dnia 17 lutego 2020 r. (Dz. U. 2022 poz.2630):

$$WM_E = \frac{E}{\min(ME_{gr})}$$

$$WM_H = \frac{H}{\min(MH_{gr})}$$

gdzie:

WME (WMH) – oznacza wartość wskaźnikową poziomu emisji pól elektromagnetycznych dla miejsc dostępnych dla ludności dla składowej elektrycznej (magnetycznej) pola,

E (H) – oznacza zmierzoną wartość skuteczną natężenia pola elektrycznego E, wyrażoną w V/m, (natężenia pola magnetycznego H, wyrażonego w A/m), uśrednioną w sposób określony w przepisach wydanych na podstawie art. 122 ust. 1 ustawy z dnia 27 kwietnia 2001 r. – Prawo ochrony środowiska lub zgodnie z pkt. 11 załącznika do rozporządzenia Ministra Klimatu z dnia 17 lutego 2020 r. (Dz. U. 2022 poz. 2630).

min(ME<sub>gr</sub>), (min MH<sub>gr</sub>) – oznacza najniższą dopuszczalną wartość składowej elektrycznej (magnetycznej) pola dla objętego pomiarami zakresu częstotliwości dla miejsc dostępnych dla ludności określoną w przepisach wydanych na podstawie art. 122 ust. 1 ustawy z dnia 27 kwietnia 2001 r. – Prawo ochrony środowiska wyrażoną w V/m rozporządzeniem Min. Zdrowia z 17 grudnia 2019 roku Dz.U 2019 poz.2448.

Oszacowana niepewność rozszerzona przeprowadzonych pomiarów natężenia pola elektromagnetycznego nie przekracza 23,8 % (niepewność rozszerzona przy prawdopodobieństwie rozszerzenia ok.95% i współczynniku k=2).

Badanie wykonywano metodą dwóch sond szerokopasmowych opisaną w dokumencie Z7.4.5 Ocena możliwości realizacji metody badawczej wydanie z 2022-06-10 W każdym z pionów pomiarowych sprawdzono i wykluczono udział promieniowania radiolinii w badanym widmie, korzystając z w/w metody.

### 13. Podsumowanie

Dopuszczalny poziom promieniowania, dla poszczególnych zakresów częstotliwości, charakteryzują parametry fizyczne określone w załączniku do Rozporządzenia Ministra Zdrowia z dnia 17 grudnia 2019 r. w sprawie dopuszczalnych poziomów pól elektromagnetycznych w środowisku (Dz. U. 2019, poz. 2448) – tabela nr 7.

Tabela nr 7 – Dopuszczalne poziomy pól elektromagnetycznych dla miejsc dostępnych dla ludności.

Zakres częstotliwości pola elektromagnetycznego	Składowa elektryczna E (V/m)	Składowa magnetyczna H (A/m)	Gęstość mocy S (W/m <sup>2</sup> )
0 Hz	10000	2500	ND
Od 0 Hz do 0,5 Hz	ND	2500	ND
Od 0,5 Hz do 50 Hz	10000	60	ND
Od 0,05 Hz do 1 kHz	ND	3 / f	ND
Od 1 kHz do 3 kHz	250 / f	5	ND
Od 3 kHz do 150 kHz	87	5	ND
Od 0,15 MHz do 1 MHz	87	0,73 / f	ND
Od 1 MHz do 10 MHz	87 / f <sup>0,5</sup>	0,73 / f	ND
Od 10 MHz do 400 MHz	28	0,073	2
Od 400 MHz do 2000 MHz	1,375 x f <sup>0,5</sup>	0,0037 x f <sup>0,5</sup>	f / 200
Od 2 GHz do 300 GHz	61	0,16	10

Podczas badania przyjęto, jako wartości dopuszczalną poziomu pola elektromagnetycznego w środowisku wartość 2 W/m<sup>2</sup> (28 V/m), tj. wartość dopuszczalną dla dolnego zakresu pasma 400MHz - 2000MHz.

Pomiary wykonano dla średniego kąta pochylenia wiązki. Przeprowadzone badania w środowisku, w obszarze pomiarowym, w otoczeniu badanej stacji bazowej, w zmierzonych pionach pomiarowych, nie wykazały przekroczenia 60% wartości dopuszczalnych poziomów pól elektromagnetycznych. W związku z tym nie wymagane są dodatkowe pomiary dla największego i najmniejszego stosowanego lub planowanego kąta pochylenia wiązki, zgodnie z pkt 13. ppkt. 2 załącznika do rozporządzenia Ministra Klimatu z dnia 17 lutego 2020 r. (Dz. U. 2022 poz. 2630). Zgodnie z pkt 25 rozporządzenia Ministra Klimatu z dnia 17 lutego 2020 r. (Dz. U. 2022 poz. 2630), nie jest wymagane wykonanie pomiaru miernikiem selektywnym.

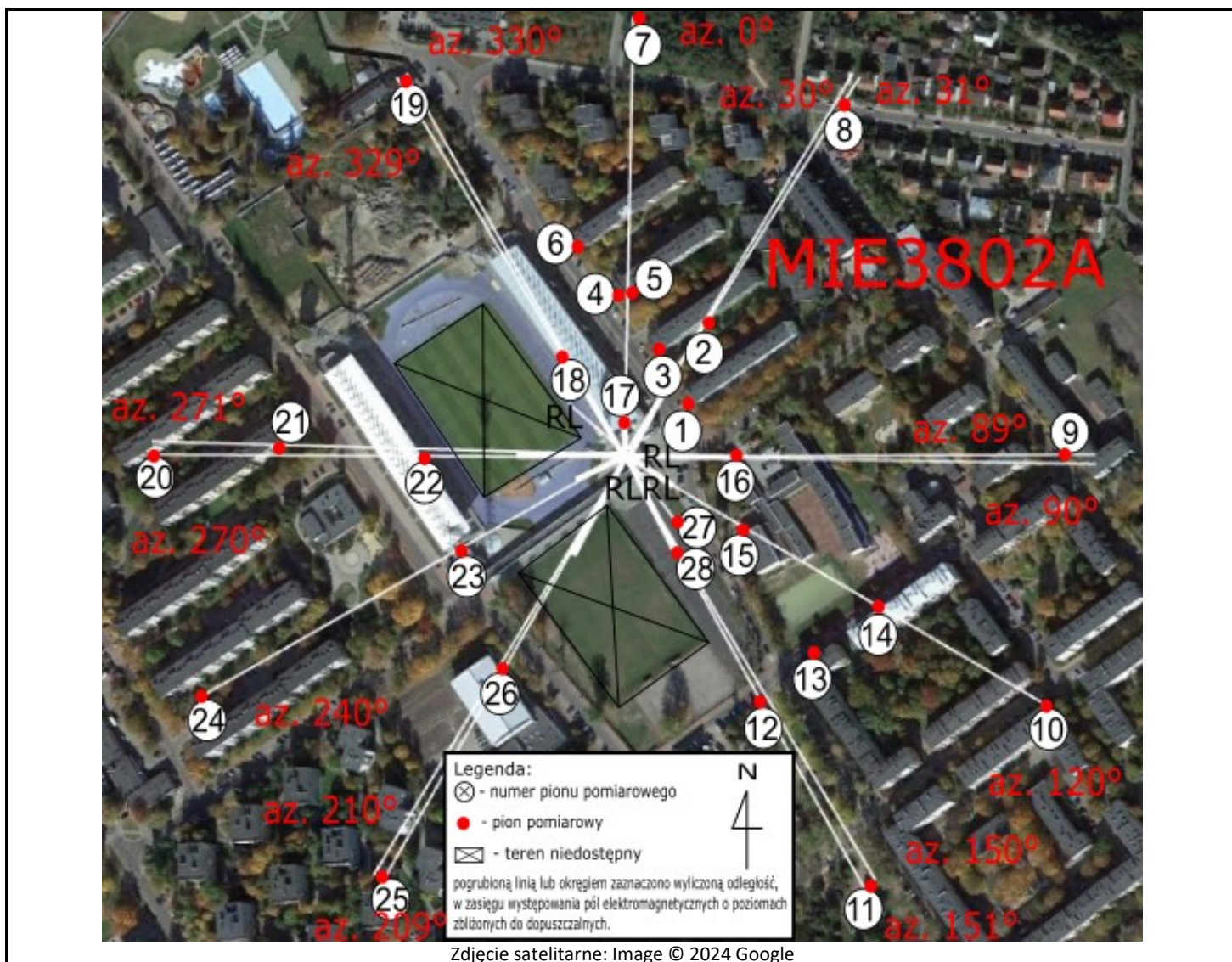
#### Stwierdzenie zgodności:


Na podstawie wytycznych wskazanych w obwieszczeniu Ministra Klimatu i Środowiska z dnia 21 listopada 2022 r. w sprawie ogłoszenia jednolitego tekstu rozporządzenia Ministra Klimatu w sprawie sposobów sprawdzania dotrzymywania dopuszczalnych poziomów pól elektromagnetycznych w środowisku (Dz. U. 2022, poz. 2630) oraz na podstawie otrzymanych wyników pomiarów i informacji uzyskanych od klienta, stwierdzono iż w miejscach dostępnych dla ludności do których uzyskano dostęp, w żadnym punkcie/pionie pomiarowym, w środowisku wokół stacji bazowej **MIE3802A** nie występują przekroczenia dopuszczalnych poziomów pól elektromagnetycznych, określonych w tabeli nr 7, w badanym zakresie pomiarowym od 400MHz do 90 GHz.

Dopuszczalne poziomy pól elektromagnetycznych w środowisku określone w przepisach wydanych na podstawie art.122 ust. 1 ustawy z dnia 27 kwietnia 2001 r. – Prawo ochrony środowiska uznaje się za dotrzymane w badanym obszarze pomiarowym, w zmierzonych pionach pomiarowych, gdyż w wyniku zastosowania sprawdzenia dotrzymywania dopuszczalnych poziomów pól elektromagnetycznych w środowisku, o którym mowa w pkt. 25 ppkt. 1 i pkt. 26 (załącznika do rozporządzenia Ministra Klimatu z dnia 17 lutego 2020 r. Dz. U. 2022 poz. 2630), żadna z wartości wskaźnikowych nie przekracza 1.

## 14. Załączniki

Załącznik nr 1 – Rysunek poglądowy terenu, rozmieszczenie pionów pomiarowych na terenie wokół stacji



	<b>Załącznik nr 1 – Rysunek poglądowy terenu, rozmieszczenie pionów pomiarowych na terenie wokół stacji, MIE3802A – Mielec, Solskiego 1</b>	Wykonała:	Skala: 1:4000
--	---	-----------	---------------

**Koniec sprawozdania**